

# Zr层插入对Ta-N扩散阻挡性能的影响

丁明惠, 张丽丽, 盖登宇, 王颖

(哈尔滨工程大学, 黑龙江 哈尔滨 150001)

**摘要:** 在不同的沉积温度下, 用射频反应磁控溅射方法在Si(100)衬底和Cu膜间制备Ta-N/Zr阻挡层, 研究Zr层的插入对Ta-N扩散阻挡性能的影响。结果表明: 不同沉积温度下制备的Ta-N均为非晶态结构; Zr层的插入使Ta-N阻挡层的失效温度至少提高100 °C, 在800 °C仍能有效地阻止Cu的扩散。阻挡性能提高的主要原因是高温退火时形成低接触电阻的Zr-Si层。

**关键词:** Ta-N/Zr薄膜; 扩散阻挡层; Cu互连; 射频反应磁控溅射

中图法分类号: TG 146.4<sup>+16</sup>

文献标识码: A

文章编号: 1002-185X(2009)11-2036-03

深亚微米集成电路工艺的不断发展中, 铜由于具有低的电阻率和优异的抗电迁移能力, 已经逐步取代铝成为新一代的互连材料。然而在空气中Cu在120 °C下会与Si发生反应形成高电阻的Cu<sub>3</sub>Si化合物<sup>[1]</sup>。Cu<sub>3</sub>Si的存在使连线中的电流密度下降几个数量级, 造成整个布线系统的电学性能完全失效。因此在Cu和Si之间需要插入扩散阻挡层阻止Cu的扩散。有许多关于过渡金属及其氮化物作为阻挡层材料的研究报道, 其中研究得较多的阻挡层材料是TaN和TiN<sup>[2~8]</sup>。然而TaN电阻率较高的特点还不能很好地适合电路高速运行的特点。

最近关于Zr-Si-N/Zr扩散阻挡层的研究结果表明, 高温退火后Zr与Si易形成低电阻率的Zr-Si层(50 nm厚的约为32 μΩ·cm), 且Zr-Si本身也是很好的阻挡层材料, 800 °C退火1 h仍能有效地阻止Cu的扩散<sup>[9,10]</sup>。因此本实验设计Ta-N/Zr扩散阻挡层, 研究它的热稳定性及其阻挡性能。

## 1 实验

利用射频磁控溅射方法在电阻率为3~5 Ω·cm的n型Si(100)基片上首先沉积厚度为20 nm的Zr层, 然后沉积厚度为10 nm的Ta-N层。基片放入真空室前在超声波清洗器中依次用丙酮、甲醇、异丙醇、1%的氢氟酸清洗, 然后用去离子水冲洗3次, 烘干后放入溅射室内。沉积Zr膜时采用Ar离子溅射, 工作气压0.3 Pa, Ar气流量20 cm<sup>3</sup>/min, 靶材为直径60 mm, 厚3 mm的Zr(99.9%)。沉积Ta-N膜时采用射频(RF)反应磁控溅射, 氮气与氩气的流量比为2/48, 溅射电源功率100 W, 衬底偏压-100

V, 衬底温度分别为100和300 °C, 靶材为直径60 mm, 厚3 mm的Ta(99.9%)。溅射时靶基距保持80 mm不变, 本底气压小于2 × 10<sup>-5</sup> Pa。衬底温度降为室温后接着在0.1 Pa的工作气压下在Ta-N/Zr上直流溅射上一层厚100 nm的Cu膜, 形成Cu/Ta-N/Zr/Si结构。然后将Cu/Ta-N/Zr/Si结构在N<sub>2</sub>保护下退火至800 °C保温1 h。

用SDY-4型数字式四探针测试仪(FPP)测定薄膜的方块电阻。用X'Pert Pro型X射线衍射仪分析薄膜的结构。用JSM-6500型扫描电镜观察薄膜的表面形貌。用Micro-Lab 310F型AES研究薄膜的原子深度分布。

## 2 结果与分析

### 2.1 Ta-N/Zr的结构

不同沉积温度下Ta-N/Zr样品的XRD图谱如图1所示。从图中可以看出, 沉积温度为100和300 °C时只出现Zr(101)、Zr(100)和Zr(002)等Zr的衍射峰, 没有出现Ta-N的衍射峰, 这说明不同的沉积温度下在Zr层上生长的Ta-N为典型的非晶态结构。

### 2.2 不同退火温度下Cu/Ta-N/Zr/Si薄膜的薄层电阻的变化

Cu/Ta-N(10 nm)/Zr(20 nm)/Si样品和Cu/Ta-N(30 nm)/Si样品薄层电阻随退火温度的变化如图2所示。从图中可以看出, 所有样品在650 °C以下退火后, 薄层电阻都轻微降低, 这可能是由于退火导致Cu膜中的缺陷消失和Cu晶粒的长大引起的。Ta-N(30 nm)样品经750 °C退火后薄层电阻迅速升高, 这可能是由于Cu与Si相互扩散形成了高电阻的Cu-Si化合物。而Cu/Ta-N(10 nm)/Zr(20 nm)/Si样品经800 °C退火后薄层

收稿日期: 2008-10-26

基金项目: 国家自然科学基金项目(50773014)

作者简介: 丁明惠, 男, 1973年生, 高级工程师, 哈尔滨工程大学材料科学与化学工程学院, 黑龙江 哈尔滨 150001, 电话: 0451-82518219

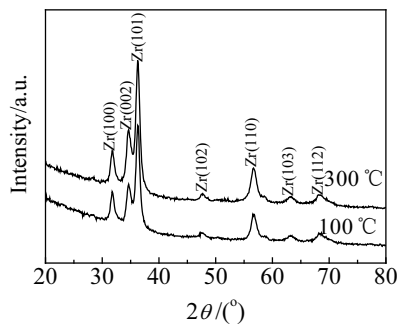


图1 不同沉积温度下 Ta-N/Zr/Si 的 XRD 图谱

Fig.1 XRD patterns of Ta-N/Zr/Si samples deposited at various temperatures

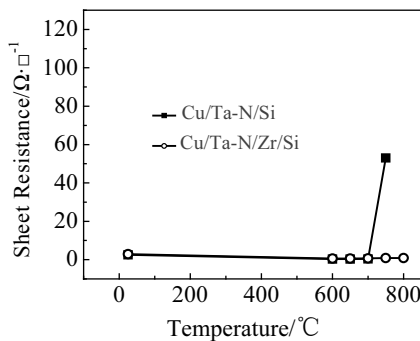


图2 Cu/Ta-N/Zr/Si 样品的薄层电阻随退火温度的变化

Fig.2 Sheet resistance variation of Cu/Ta-N/Zr/Si samples as a function of annealing temperature

电阻仍然低于沉积态的样品的薄层电阻。从薄层电阻的变化对比可以看出, Zr层的插入提高Ta-N的热稳定性。热稳定性提高的原因可能是高温下退火Zr与Si之间形成了具有很好阻挡能力的Zr-Si层。

### 2.3 退火前后Cu/Ta-N/Zr/Si样品结构的变化

不同温度退火下的Cu/Ta-N/Zr/Si样品的XRD图谱如图3所示。从图中可以看出,样品退火至800 °C只有Cu的衍射峰,没有出现明显的Cu<sub>3</sub>Si的衍射峰,这说明Ta-N/Zr阻挡层至少能够稳定到800 °C。衍射结果也表明,退火前后Ta-N/Zr阻挡层上生长的Cu膜具有明显的(111)织构,同时Cu/Ta-N/Si样品退火前后的衍射结果表明,单层Ta-N阻挡层上生长的Cu膜也具有(111)织构(衍射图谱没有给出)。根据文献[11]报道,(111)取向的Cu膜有更好地抗电迁移能力。此外与沉积态的样品相比,退火后Cu(111)衍射峰的强度增高,峰变得更窄,表明退火后Cu晶粒长大。这也证明退火后样品的薄层电阻降低是由于晶粒长大所导致的推测。退火至800 °C时的样品衍射数据也表明,Zr(101)等Zr的衍射峰消失,形成了新的ZrSi<sub>2</sub>的衍射峰,ZrSi<sub>2</sub>的形成既降低阻挡层与Si的接触电阻,也提高了Ta-N薄膜的热稳定性。

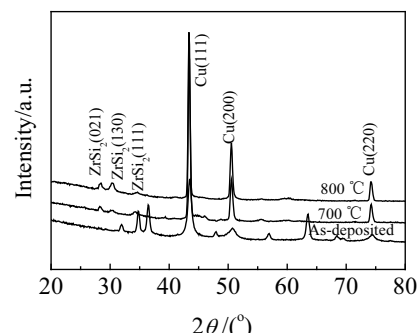


图3 不同退火温度下 Cu/Ta-N/Zr/Si 样品的 XRD 图谱

Fig.3 XRD patterns of the Cu/Ta-N/Zr/Si samples after annealed at different temperature

### 2.4 退火前后Cu/Ta-N/Zr/Si样品表面形貌分析

图4是Cu/Ta-N/Zr/Si样品退火前后的表面形貌。从图4a可以看出,沉积态样品表面平坦,没有缺陷。700 °C退火后Cu晶粒明显长大,这与XRD的分析结果相一致。800 °C退火后除Cu晶粒长大外,Cu膜表面形成了一些微孔。微孔形成的主要原因是退火时Cu膜的热应力导致Cu晶粒的团簇。800 °C退火后,Cu膜的表面仍然是完整的,没有出现Cu膜的团聚。图5为样品的XPS图谱。表明样品的表面主要是Cu及由于氧化和污染所出现的C和O。SEM分析结果表明,800 °C高温退火时阻挡层的热稳定性非常好且与Cu和Si具有很好的结合力。

### 2.5 退火前后Cu/Ta-N/Zr/Si样品AES分析

图6为沉积态的Cu/Ta-N/Zr/Si样品AES图谱。从图谱中可以看出Cu/Ta-N/Zr/Si样品有很好的分层结构(6a)。由样品800 °C退火后的原子深度分布可以看出,Cu和Si均没有穿过阻挡层发生扩散,阻挡层的结构也

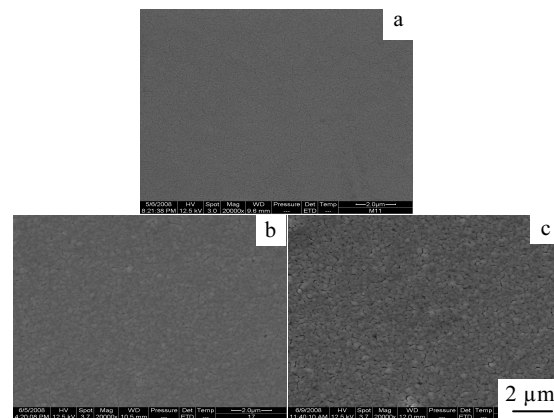


图4 Cu/Ta-N/Zr/Si 样品的表面形貌

Fig.4 Surface morphologies of Cu/Ta-N/Zr/Si sample: (a) as-deposited, (b) annealed at 700 °C, and (c) annealed at 800 °C for 1 h

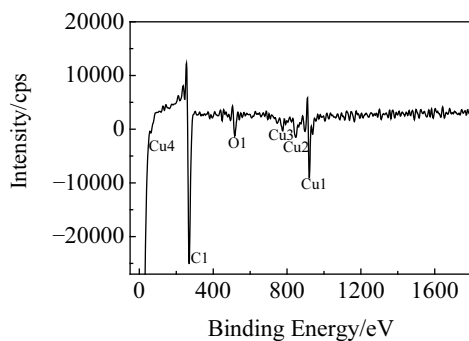


图 5 Cu/Ta-N/Zr/Si 样品的表面 XPS 图谱

Fig.5 XPS spectrum of sample annealing at 800 °C for 1 h

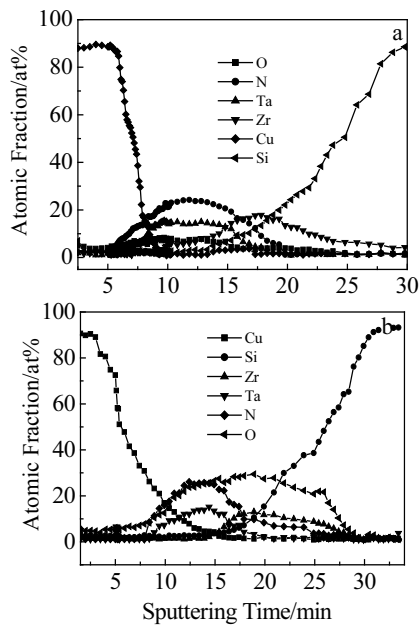


图 6 Cu/Ta-N/Zr/Si 结构的 AES 图谱

Fig.6 AES depth profiles of Cu/Ta-N/Zr/Si as-deposited (a) and annealed at 800 °C (b)

没有发生明显的变化, Ta-N/Zr 阻挡层的阻挡性能优异。这与 XRD、FPP 及 SEM 的测试结果一致。从 AES 图谱中还可以看出, 随着退火温度的升高, 结合到阻挡层中 O 的量增加, 增加的 O 会阻塞阻挡层的晶界, 减少 Cu 原子的扩散通道。O 原子主要来自于沉积室和退火环境中的残存 O 原子。

### 3 结 论

- 1) Ta-N/Zr 阻挡层中的 Ta-N 为典型的非晶态结构。
- 2) Zr 的插入提高 Ta-N 的热稳定性, 在 800 °C 时仍能有效地阻止 Cu 的扩散; 同时降低高温退火时阻挡层与 Si 之间的接触电阻。
- 3) 阻挡层上生长的 Cu 膜具有(111)取向, 这种取向的 Cu 膜有更好的抗电迁移能力。

### 参 考 文 献 References

- [1] Lloyd J R et al. Mater Sci Eng[J], 1997, R19: 87
- [2] Qu X P et al. Microelectronic Engineering[J], 2006, 83: 236
- [3] Wang Y et al. Microelectronic Engineering[J], 2004, 71(1): 69
- [4] Wang Y et al. Microelectronics Journal[J], 2007, 38(8~9): 910
- [5] Wang Y et al. Applied Surface Science[J], 2007, 253(22): 8858
- [6] Song S X et al. Thin Solid Films[J], 2005, 476: 142
- [7] Letendu F et al. Thin Solid Films[J], 2006, 513: 118
- [8] Song Zhongxiao(宋忠孝) et al. Rare Metal Materials and Engineering(稀有金属材料与工程)[J], 2005, 34(3): 459
- [9] Wang Y et al. Applied Physics Letters[J], 2008, 92: 032 108
- [10] Wang Y et al. Electrochemical and Solid-State Letters[J], 2007, 10: H299
- [11] Abe K et al. J Vac Sci Technol B[J], 1999, 17: 1464

## Effect of Thin Zr Layer Insertion on the Ta-N Diffusion Barrier Performance in Cu Metallization

Ding Minghui , Zhang Lili , Gai Dengyu , Wang Ying  
(Harbin Engineering University, Harbin 150001, China)

**Abstract:** Ta-N/Zr diffusion barrier was grown on the Si (100) substrates under various substrate temperatures in a RF magnetron sputtering system. Investigated the effect of thin Zr layer insertion on the Ta-N diffusion barrier performance of Ta-N film in Cu metallization has been investigated. The results reveal that the microstructure of Ta-N films is amorphous phase at different substrate temperatures with a higher barrier breakdown temperature of about 100 °C than Ta-N film, which can effectively prevent the diffusion of Cu after annealing at 800 °C due to the production of Zr-Si layer after annealing at high temperatures.

**Key words:** Ta-N/Zr film; diffusion barrier; Cu metallization; RF magnetron sputtering

**Biography:** Ding Minghui, Senior Engineer, College of Materials Science and Chemical Engineering, Harbin Engineering University, Harbin 150001, P. R. China, Tel: 0086-451-82518219